新しい気泡関数要素と Galerkin/Least-Squares 法

A New Bubble Element Prompts Galerkin/Least-Squares Type Methods

奥村 弘, 中央大院, 〒 112-8551 文京区春日 1-13-27, E-mail:oku@kc.chuo-u.ac.jp 川原 睦人,中央大理工、〒 112-8551 文京区春日 1-13-27, E-mail: kawa@civil.chuo-u.ac.jp Hiroshi OKUMURA, Dept. of Civil Engrg., Chuo Univ., Kasuga 1-13-27 Bunkyo-ku, Tokyo Mutsuto KAWAHARA, Dept. of Civil Engrg., Chuo Univ., Kasuga 1-13-27 Bunkyo-ku, Tokyo

A new Petrov-Galerkin formulation employing the bubble element, which is to be equivalent to Galerkin/Leastsquares type methods, is proposed. The new formulation possesses better stability properties than Bubnov-Galerkin formulation employing classical bubble element. The stabilizing effect of this formulation is evaluated by stabilizing parameter determined by the shapes of both the trial and weighting bubble functions.

1. はじめに

従来, 気泡関数要素では Bubnov-Galerkin 型の定式化 により気泡関数の自由度を要素毎に消去する、いわゆる 静的縮約 (static condensation) の操作によって得られた 有限要素近似式が、ある種の問題において安定化有限要 素法 $^{1\sim3}$ と等価な近似式となることがわかっている $^{4\sim7}$.

山田 9,10 は、非圧縮 Navier-Stokes 方程式に対し、流 速場に気泡関数要素、圧力場に三角形一次要素を用いた MINI 要素 5,8,11 による混合型有限要素法を提案した。ここで山田の提案する気泡関数要素は、適合型の気泡関数 の形状を要素ペクレ数に応じて変化させることにより適切な安定化の効果を導入する P 型正規化気泡関数 (Pscaled bubble function)⁹を用いている。また、Hughes は 要素ペクレ数に対応する Green 関数を用いた気泡関数を導出し、安定化パラメータに対する関係式 12 を導くこと に成功した. その他の提案されている気泡関数としては, Simo らの S 型正規化気泡関数 13 などが挙げられる. また、最近の研究においては C_0 連続性を満たさない非適合 (non-confirming) モード 11 を有する気泡関数が提案され ている. しかしながら, Stokes 方程式に対する MINI 要 素において、その数値安定性が不足が指摘されている11よ うに、Bubnov-Galerkin 型の定式化において、どのよう な適合型および非適合型の気泡関数を選んでも、安定化 パラメータを任意の大きさとすることはできず11,安定化 作用は必ずしも十分ではない.

そこで本研究では、従来の気泡関数要素14における数 値安定性の問題点を解消する気泡関数を用いた新しい定 式化を提案する、ここでは、試行気泡関数と重み気泡関 数の自由度の補間に異なった気泡関数を用いたある種の Petrov-Galerkin 法^{1,15}の考え方に基づき、Stokes 方程 式により支配される非圧縮体に対する変分法的定式化を 行った.これにより得られる近似式は、MINI要素による Bubnov-Galerkin 型の近似^{4,5,7}と同様に, 安定化有限要 素法と等価になる. 特に, 試行気泡関数に正規化気泡関数 を, 重み気泡関数に正規化した適合・非適合どちらの気 泡関数を用いた場合でも得られる安定化パラメータは従 来の制約がなく、任意の大きさとすることができる.こ で、安定化作用の大きさは、試行気泡関数と重み気泡関数 のそれぞれの形状によって決定され、それらの形状は形 状パラメータによって制御される. 非定常問題では、GLS (Galerkin/Least-squares) 法に類似した形式の近似方程 式を導出することができるが、本論文においては気泡関 数の議論を明確にするために、定常問題のみの議論をす ることにする. また、数値実験として Cavity 流れ問題を 取り上げ、本研究の数値安定性および有効性を示す.

Stokes 方程式に対する有限要素近似

 $\partial\Omega$ を境界とする空間領域 $\Omega\subset\mathbb{R}^2$ において、流速 $m{u}:\Omega\mapsto\mathbb{R}^2$ と圧力 $p:\Omega\mapsto\mathbb{R}$ を見出す次の Stokes 方 程式により支配される非圧縮体問題を考える.

$$-\nu \nabla^2 \boldsymbol{u} + \nabla p = \boldsymbol{f} \quad \text{in} \quad \Omega \tag{1}$$

$$\nabla \cdot \boldsymbol{u} = 0 \quad \text{in} \quad \Omega \tag{2}$$

$$\mathbf{u} = \mathbf{0}$$
 on $\partial \Omega$ (3)

ここで, ν は粘性係数, f はソース項である. Stokes 方程 式は非圧縮等方弾性体理論における方程式と同一形式な り,弾性体問題においては,流速場 u は変位場,粘性係数

u は弾性係数と見なすことができる.
この問題に対し、混合型の変分法的定式化を適用するに あたり、試行関数空間 $\mathcal{S}_u \subset (H_0^1(\Omega))^2, \ \mathcal{S}_p \subset L^2(\Omega)/\mathbb{R}$ と重み関数空間 $m{\mathcal{V}}_u\subset (H^1_0(\Omega))^2,\; m{\mathcal{V}}_p\subset L^2(\Omega)/\mathbb{R}$ を考え る. ここで, $H_0^1(\Omega)$ は関数と 1 階導関数が 2 乗可積分な ものが元で、関数が境界 $\partial\Omega$ ですべて 0 になるものの全 体を表す Sobolev 空間である. また, $L^2(\Omega)$ は 2 乗可積 分を満たすもの全体のなす空間である。

この関数空間を用いることにより、全ての $(oldsymbol{v},q)\in oldsymbol{\mathcal{V}}_u imes$ \mathcal{V}_p に対し、次の弱形式を満たす $(oldsymbol{u},\,p)\in oldsymbol{\mathcal{S}}_u imes\mathcal{S}_p$ を見出 す次の変分問題を得ることができる.

$$\nu < \nabla u, \ \nabla v > - < p, \ \nabla \cdot v > = < f, v >$$

$$\forall v \in \mathcal{V}_u$$
(4)

$$\langle \nabla \cdot \boldsymbol{u}, q \rangle = 0 \quad \forall q \in \mathcal{V}_p$$
 (5)

ここで、 $<\cdot,\cdot>$ は領域 Ω における L^2 内積を示し、 $< u,v>=\int_\Omega u\,v\,\mathrm{d}x$ である.

次に、この変分問題に対する有限要素近似を行うにあ たり、離散領域 $\Omega^h \simeq \Omega$ の有限要素への分割を考える. 要 素数を N_e として, 要素 $e \in \{1, 2, \cdots, N_e\}$ に対する要 素領域を Ω_e^h とし、次の正則な要素分割を与える.

$$\Omega^{h} = \bigcup_{e=1}^{N_e} \Omega_e^{h}$$

$$\emptyset = \bigcap_{e=1}^{N_e} \Omega_e^{h}$$
(6)

$$\emptyset = \bigcap_{e=1}^{N_e} \Omega_e^h \tag{7}$$

この変分問題 (4) (5) に対する MINI 要素を用いた有 限要素近似では、以下に導入するの1次要素の有限要素 空間 $ar{\mathcal{S}}_u^h, \mathcal{S}_p^h, ar{\mathcal{V}}_u^h, \mathcal{V}_p^h$ と気泡関数空間 $ar{\mathcal{S}}_u^h, ar{\mathcal{V}}_u^h$ を用いる.

$$\bar{\mathbf{S}}_{u}^{h} = \bar{\mathbf{V}}_{u}^{h}
= \left\{ \bar{\mathbf{v}}_{h} \in (C_{0}^{0}(\Omega^{h}))^{2}, \ \bar{\mathbf{v}}_{h}|_{\Omega_{e}^{h}} \in (P^{1}(\Omega_{e}^{h}))^{2} \right\} (8)
\tilde{\mathbf{S}}_{u}^{h} = \left\{ \tilde{\mathbf{v}}_{h} \in (C_{0}^{0}(\Omega^{h}))^{2}, \ \tilde{\mathbf{v}}_{h}|_{\Omega_{e}^{h}} = \phi_{e}\mathbf{b}_{e},
\mathbf{b}_{e} \in \mathbb{R}^{2} \right\}$$
(9)
$$\tilde{\mathbf{V}}_{u}^{h} = \left\{ \tilde{\mathbf{v}}_{h} \in (C_{0}^{0}(\Omega^{h}))^{2}, \ \tilde{\mathbf{v}}_{h}|_{\Omega_{e}^{h}} = \varphi_{e}\mathbf{c}_{e},
\mathbf{c}_{e} \in \mathbb{R}^{2} \right\}$$
(10)
$$\mathbf{S}_{p}^{h} = \mathbf{V}_{p}^{h}
= \left\{ q_{h} \in C^{0}(\Omega^{h}), \ q_{h}|_{\Omega_{e}^{h}} \in P^{1}(\Omega_{e}^{h}),
\int q_{h} \, \mathrm{d}x = 0 \right\}$$
(11)

ここで、 $P^1(\Omega_e^h)$ は Ω_e^h で考えた 1 次の多項式を意味する. 関数 ϕ_e , φ_e はそれぞれ試行気泡関数および重み気泡関数である. これらは要素毎に定義され, 要素領域 Ω_e^h の境界においてその値が 0 となる C_0 連続性を有する適合型の気泡関数である. また, b_e , c_e はそれぞれ試行気泡関数 ϕ_e および重み気泡関数 φ_e についての自由度である. この変分問題に対する MINI 要素を用いた有限要素近似では, 速度場の近似に対し 1 次要素と気泡関数の近似空間からなる次の有限要素空間

$$u_h \in \mathcal{S}_u^h = \bar{\mathcal{S}}_u^h \oplus \tilde{\mathcal{S}}_u^h \subset \mathcal{S}_u$$
 (12)

$$\boldsymbol{v}_h \in \boldsymbol{\mathcal{V}}_u^h = \bar{\boldsymbol{\mathcal{V}}}_u^h \oplus \tilde{\boldsymbol{\mathcal{V}}}_u^h \subset \boldsymbol{\mathcal{V}}_u$$
 (13)

を用い、また圧力場の近似に対しては1次要素の有限要素空間

$$p_h \in \mathcal{S}_p^h \subset \mathcal{S}_p$$
 (14)

$$q_h \in \mathcal{V}_p^h \subset \mathcal{V}_p$$
 (15)

を用いて有限要素近似 (図-1) を行うわけであるが, 有限要素空間 (8) (11) より, 流速場および圧力場における 1次要素の有限要素空間においては, 試行関数空間と重み関数空間の近似空間に同一のものを用いている. 本研究では, 気泡関数の自由度の補間に関してのみ, 試行関数と重み関数に異なったものを用いているため, ある種のPetrov-Galerkin 法と位置付けられる.

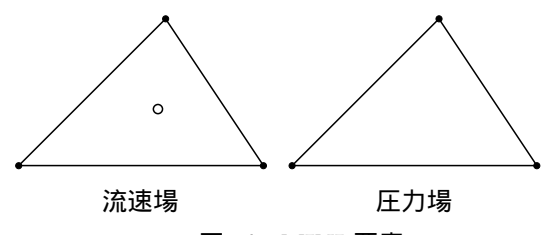


図-1 MINI 要素

以上のことを踏まえ、Petrov-Galerkin 近似を適用することにより、全ての $(\boldsymbol{v}_h,q_h)\in \boldsymbol{\mathcal{V}}_u^h imes \mathcal{V}_p^h$ に対し、有限要素近似解 $(\boldsymbol{u}_h,p_h)\in \boldsymbol{\mathcal{S}}_u^h imes \mathcal{S}_p^h$ を見出す次の近似問題が得られる.

$$\nu < \nabla \boldsymbol{u}_h, \ \nabla \boldsymbol{v}_h > - < p_h, \ \nabla \cdot \boldsymbol{v}_h > = < \boldsymbol{f}, \boldsymbol{v}_h >$$

$$\forall \boldsymbol{v}_h \in \boldsymbol{\mathcal{V}}_u^h \quad (16)$$

$$\langle \nabla \cdot \boldsymbol{u}_h, q_h \rangle = 0 \quad \forall q_h \in \mathcal{V}_p^h$$
 (17)

流速場に対する近似試行関数 u_h と近似重み関数 v_h は、補間関数による近似空間の元 $\bar{u}_h \in \bar{\mathcal{S}}_u^h, \bar{v}_h \in \bar{\mathcal{V}}_u^h$ および 気泡関数による近似空間の元 $\tilde{u}_h \in \tilde{\mathcal{S}}_u^h, \tilde{v}_h \in \tilde{\mathcal{V}}_u^h$ を用いて次のように表現できる.

$$\boldsymbol{u}_h = \bar{\boldsymbol{u}}_h + \tilde{\boldsymbol{u}}_h, \quad \boldsymbol{v}_h = \bar{\boldsymbol{v}}_h + \tilde{\boldsymbol{v}}_h$$
 (18)

ここで、気泡関数 ϕ_e, φ_e は要素毎に独立に定義されていることから、静的縮約 (static condensation) により試行気泡関数 ϕ_e についての自由度 b_e を消去することができ、f が要素毎に定数関数であることを仮定すると、全ての $(\bar{v}_h,q_h)\in \bar{\boldsymbol{V}}_u^h\times \mathcal{V}_p^h$ に対し、次式を満たす 1 次要素を用いた有限要素近似解 $(\bar{u}_h,p_h)\in \bar{\boldsymbol{S}}_u^h\times \mathcal{S}_p^h$ を見出す問題となる.

$$\nu < \nabla \bar{\boldsymbol{u}}_h, \, \nabla \bar{\boldsymbol{v}}_h > - < p_h, \, \nabla \cdot \bar{\boldsymbol{v}}_h > = < \boldsymbol{f}, \, \bar{\boldsymbol{v}}_h >$$

$$\forall \bar{\boldsymbol{v}}_h \in \bar{\boldsymbol{\mathcal{V}}}_n^h \quad (19)$$

$$\langle \nabla \cdot \bar{\boldsymbol{u}}_{h}, q_{h} \rangle + \sum_{e=1}^{N_{e}} \tau_{e} \langle \nabla p_{h}, \nabla q_{h} \rangle_{e}$$

$$= \sum_{e=1}^{N_{e}} \tau_{e} \langle \boldsymbol{f}, \nabla q_{h} \rangle_{e} \quad \forall q_{h} \in \bar{\mathcal{V}}_{p}^{h} \qquad (20)$$

ここで, τ_e は次の気泡関数によって与えられるパラメータである.

$$\tau_e = \frac{\langle \phi_e, 1 \rangle_e \langle \varphi_e, 1 \rangle_e}{\nu \langle \nabla \phi_e, \nabla \varphi_e \rangle_e A_e}$$
 (21)

また, $A_e = \int_{\Omega_e^h}$ であり, 要素領域 Ω_e^h の測度 (面積) を示す.

示す. したがって、MINI 要素による Bubnov-Galerkin 型の定式化 5 によって得られる近似式と同様に、気泡関数のみに関する Petrov-Galerkin 型の定式化によって得られた式 (19), (20) の近似式が、三角形一次要素を用いた同次補間 (P^1-P^1) を用いた圧力場のラプラシアン作用素の導入によって安定化作用の働きをする安定化有限要素法 1 ~3 と等価となる. 式 (21) により表される安定化パラメータ $_{\tau_e}$ の大きさは、試行気泡関数 ϕ_e と重み気泡関数 φ_e のそれぞれの形状により決まることになる.

 au_e の大きさは、試行気泡関数 ϕ_e と重み気泡関数 φ_e のそれぞれの形状により決まることになる。 さらに、ここでは重み気泡関数 φ_e に要素境界上での気泡関数の値が 0 としない非適合気泡関数 (non-confirming bubble) を用いることを考える。 Bubnov-Galerkin 型の有限要素近似において、非適合型の気泡関数を用いた場合、従来の気泡関数の安定化作用をある程度改善できるものの inf-sup 条件を満足しないといった問題点があった 11. しかしながら、本研究においては、ある種の Petrov-Galerkin 型の有限要素近似法を用いているため、inf-sup条件の制約がなくなり、気泡関数の自由度を消去した近似方程式(19)(20)が CBB(Circumventing the Babuška-Brezzi)条件2を満たす形式になっていることから、重み気泡関数に非適合型の気泡関数を用いることができる。

気泡関数に非適合型の気泡関数を用いることができる. (10) における重み関数空間の元に代わる非適合気泡関数 $\varphi_e^{\rm nc}$ として、次の関数空間の元 11 を考える.

$$W^{h} = \left\{ \varphi^{\text{nc}} \in H^{1}(\Omega_{e}^{h}), \int_{F} \varphi_{e}^{\text{nc}} p_{h} \, ds = 0, \right.$$
$$\forall F = F(\Omega_{e}^{h}), \ \forall p_{h} \in P^{1}(\Omega_{e}^{h}) \right\}$$
(22)

ここで, $F(\Omega_e^h)$ は要素領域 Ω_e^h の辺の集合である.

重み気泡関数に非適合気泡関数 $arphi_e^{ ext{nc}}$ を用いた $ext{Petrov}$ Galerkin 有限要素近似を適用した場合、安定化パラメー タ τ_e は次式により書き換えられる.

$$\tau_e = \frac{\langle \phi_e, 1 \rangle_e \langle \varphi_e^{\text{nc}}, 1 \rangle_e}{\nu \langle \nabla \phi_e, \nabla \varphi_e^{\text{nc}} \rangle_e A_e}$$
 (23)

本研究では以後,上式 (21)(23) によって表される気泡関数の安定化パラメータを用いて議論を進めていくものと

一方,安定化有限要素法では,安定化パラメータ au_e は 次式により決定された.

$$\tau_e = \alpha \frac{h_e^2}{\nu} \tag{24}$$

ここで, h_e は代表要素長であり, α は要素ペクレ数と呼 ばれる無次元パラメータである.

3. 安定化パラメータの評価

ここでは, 前節において得られた適合型の重み気泡関 数による気泡関数(21)と非適合型の重み気泡関数(23) によって得られた安定化パラメータの評価をそれぞれに ついて行う.

適合型気泡関数 $arphi_e$ による安定化パラメータ

重み気泡関数に適合型の気泡関数を選んだ場合の安定 化パラメータは(21)によって安定化作用の大きさが表せ ることができた.

適合な試行気泡関数として,以下に定義する正規化気 泡関数を用いる. アイソパラメトリック座標系 $\{r,s\}$ に おける各要素領域を重心位置から図-2に示すように、3 つの小 3 角形 ω_i に分割し、次のように正規化気泡関数を 定義する.

$$\phi_e^{\xi} = \begin{cases} \frac{(\xi+1)(\xi+2)}{2} 3^{\xi} (1-r-s)^{\xi} & \text{in } \omega_1\\ \frac{(\xi+1)(\xi+2)}{2} 3^{\xi} r^{\xi} & \text{in } \omega_2\\ \frac{(\xi+1)(\xi+2)}{2} 3^{\xi} s^{\xi} & \text{in } \omega_3 \end{cases}$$
 (25)

本研究では特に $\xi=2$ を選び, C_0^2 級の試行気泡関数 ϕ_e を用いることにする.一方,適合型の重み気泡関数 φ_e は 以下のように定義する.

$$\varphi_e = \phi_e^{\xi} + \tilde{\nu} \, \phi_e^{\xi + 1} \quad \text{in } \omega \tag{26}$$

ここで、 $\tilde{\nu}$ は重み気泡関数の形状を決定するパラメータで ある. 次に重み気泡関数 $arphi_e$ を正規化するために, $rac{1}{1+ ilde{
u}}=\eta$ とおけば、正規化された重み気泡関数 $arphi_e$ は以下のように 得られる.

$$\varphi_e = \eta \,\phi_e^{\xi} + (1 - \eta) \,\phi_e^{\xi + 1} \quad \text{in } \omega \tag{27}$$

この場合、気泡関数による安定化パラメータ τ_e は η の関 数として以下のように得られる.

$$\tau_e = \frac{2A_e^2}{3\nu g} \left\{ \eta_0 \, \eta + \eta_1 \, (1 - \eta) \right\} \tag{28}$$

ここで, η_0 , η_1 はそれぞれ以下のように表せる.

$$\eta_0 = \frac{1}{4(2\xi - 1)}\xi(\xi + 1)^2(\xi + 2)^2 \tag{29}$$

$$\eta_1 = \frac{1}{4(2\xi+1)}(\xi+1)^2(\xi+2)^2(\xi+3) \quad (30)$$

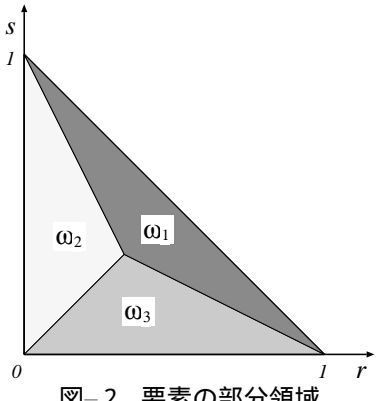


図-2 要素の部分領域

$oldsymbol{3.2}$ 非適合型気泡関数 $arphi_e^{ ext{nc}}$ による安定化パラメータ

前節において得られた気泡関数の安定化パラメータ au_e を形状パラメータ & を用いて関数形状を制御することを 考える. この時, 気泡関数の安定化作用を表す安定化パラ メータ τ_e は以下のように得られる.

$$\tau_e = \frac{\langle \phi_e^{\xi}, 1 \rangle_e \langle \varphi_e^{\xi}, 1 \rangle_e}{\nu \langle \nabla \phi_e^{\xi}, \nabla \varphi_e^{\xi} \rangle_e A_e}$$
(31)

本研究では適合な気泡関数として、以下に定義する P 型正規化気泡関数 (P-scaled bubble) を用いて議論を進 めていくものとする. アイソパラメトリック座標系 $\{r,s\}$ における各要素領域を重心位置から図-2に示すように、 3つの小3角形 ω_i に分割し、次のように正規化気泡関数 を定義する.

$$\bar{\phi}_e^{\xi} = \begin{cases} \frac{\frac{\xi+2}{\xi}}{\xi} \{1 - (1 - 3(1 - r - s))^{\xi}\} & \text{in } \omega_1 \\ \frac{\xi+2}{\xi} \{1 - (1 - 3r)^{\xi}\} & \text{in } \omega_2 \\ \frac{\xi+2}{\xi} \{1 - (1 - 3s)^{\xi}\} & \text{in } \omega_3 \end{cases}$$
(32)

従来、この正規化気泡関数を用いた MINI 要素により Bubnov-Galerkin 型の有限要素近似を行った場合, 安定 化パラメータ τ_e は ξ の関数として次のように表されることが分かっている 9,11 .

$$\tau_e = \frac{2A_e^2}{3\nu q} \frac{\xi}{(\xi + 2)^2} \tag{33}$$

ここで, $g=|\mathbf{x}_{,r}|^2+|\mathbf{x}_{,s}|^2-\mathbf{x}_{,r}\cdot\mathbf{x}_{,s}$ である. また, ξ は 0 から 2 までの値を動くが, 要素ペクレ数が小さくなる につれ $\xi = 2$ に収束し、Bubnov-Galerkin 近似により得 られる安定化パラメータは以下の上限の値を持つ.

$$\tau_e \le \frac{A_e^2}{12\nu g} \tag{34}$$

このとき、圧力場に対する気泡関数の安定化作用は十分 ではない、図-3に従来の Bubnov-Galerkin 型の近似において正規化気泡関数を用いた場合における変化パラ メータの上限値 $(\xi = 2)$ における気泡関数の形状を示す.

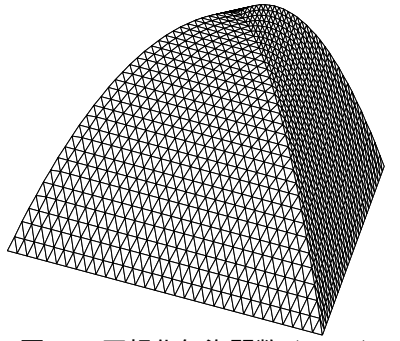


図-3 正規化気泡関数 $(\xi = 2)$

ここで、別の視点から見れば、Bubnov-Galerkin 近似か ら導出される安定化パラメータは、試行気泡関数と重み 気泡関数ともに同一の形状から決定されているとも解釈 できる。そこで、著者らはある種の Petrov-Galerkin 法の考え方に基づき、試行気泡関数および重み気泡関数に 異なった形状を用いることにより安定化パラメータを決 定することで、従来の気泡関数の安定化作用の不足を改 善できるものと期待し、本研究に至った. 本研究では前節 で述べたように、安定化パラメータの具体的な導出に対 し, 試行気泡関数 ϕ_e^ξ には適合な気泡関数として式 (32)の正規化気泡関数と線形 $(\xi = 1)$ の正規化気泡関数を組 み合わせた気泡関数を用いることを試みる.

$$\phi_e^{\xi} = \begin{cases} \bar{\phi}_e^{\xi} & (0 \le \xi \le 1) \\ \bar{\phi}_e^{1} & (1 \le \xi \le \frac{26}{11}) \end{cases}$$
 (35)

また、重み気泡関数 $arphi_e^{\xi}$ には非適合な気泡関数として式 (32) の正規化気泡関数に、次式の非適合気泡関数を組み 合わせる.

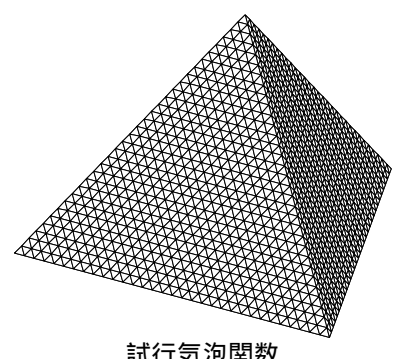
$$\varphi_e^{\xi} = \begin{cases} \bar{\phi}_e^{\xi} & (0 \le \xi \le 1) \\ (2 - \xi) \bar{\phi}_e^{1} + (\xi - 1) \phi_e^{\text{nc}} & (1 \le \xi \le \frac{26}{11}) \end{cases}$$
(36)

ここで、 ϕ_e^{nc} は次式で定義される非適合気泡関数である.

$$\phi_e^{\text{nc}} = \begin{cases} \frac{9}{5} \{ 2 - 3(r^2 + s)^2 \} & \text{in } \omega_1 \\ \frac{9}{5} \{ 2 - 3((1 - r - s)^2 + s^2) \} & \text{in } \omega_2 \\ \frac{9}{5} \{ 2 - 3(r^2 + (1 - r - s)^2) \} & \text{in } \omega_3 \end{cases}$$
 (37)

形状パラメータ ξ が 0 から 1 までの範囲においては、試 行および重み気泡関数ともに同一の関数形状をしながら 変化していく.一方 $,\,\xi$ が 1 から $rac{26}{11}$ の範囲においては 試行気泡関数 ϕ_e^ξ は $\xi=1$ のまま固定されて線形の気泡 関数形状を保ち、重み気泡関数 φ_{ϵ}^{ξ} は ξ が $\frac{26}{11}$ に近付くに つれて非適合性を強くしていきながら、試行気泡関数と は別の挙動を示す. しかしながら, Stokes 流れにおいて は安定化パラメータ τ_e が限りなく無限大 (もしくは 0) に近付くことはあっても、無限大 (もしくは 0) の値をとることはなく、 ξ の値は $\frac{26}{11}$ になることはない、 $\xi=\frac{26}{11}$ のおける試行気泡関数 ϕ_{ξ}^{ξ} と重み気泡関数 φ_{ξ}^{ξ} それぞれの 形状を図-4に示す. このとき, 安定化パラメータ τ_e は ξ の関数として次式のように表される。

$$\tau_e = \begin{cases} \frac{2A_e^2}{3\nu g} \frac{\xi}{(\xi+2)^2} & (0 \le \xi \le 1) \\ \frac{A_e^2}{3\nu g} \left(\frac{39}{5} - \frac{33}{10}\xi\right)^{-1} & (1 \le \xi \le \frac{26}{11}) \end{cases}$$
(38)



試行気泡関数

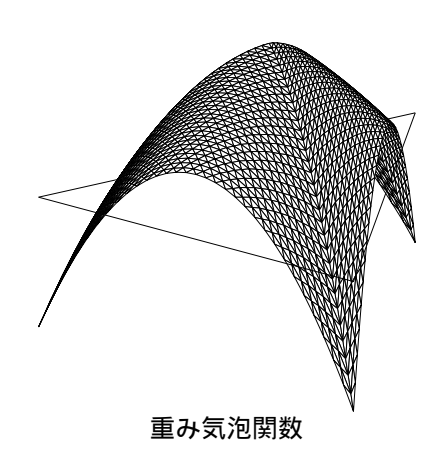


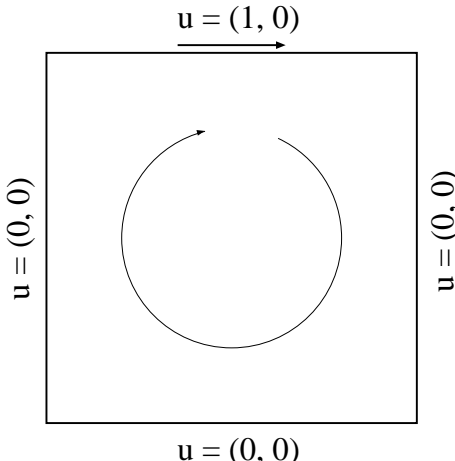
図-4 気泡関数の組み合わせ $(\xi = \frac{26}{11})$

ここで、非適合型の気泡関数を用いた MINI 要素による Petrov–Galerkin 型の有限要素近似により得られる安定 化パラメータは、形状パラメータ ξ が 0 から 1 の範囲に おいては、正規化気泡関数による Bubnov-Galerkin 型の 定式化により得られる式 (33) と一致し, $1 \le \xi \le \frac{26}{11}$ の範囲においては ξ が $\frac{26}{11}$ に収束するにつれ

$$\tau_e \to \infty \qquad (\xi \to \frac{26}{11})$$
(39)

となり、安定化パラメータに関する制約がなくなり、任意 の大きさとすることができる. したがって、要素ペクレ数 が小さい場合においても十分な安定化作用が期待できる.

数値解析解析例として、Cavity 流れ問題 (図-5) を取 り上げ、本研究で提案する手法の数値安定性を検証する. 粘性係数は $\nu = 1$ とし、図-6 に示すように 40×40 の均等 メッシュを用いて計算を行う. 気泡関数としては、通常用 いられる標準気泡関数 $\phi_e = L_1 L_2 L_3 \; (L_i \;$ は面積座標 $) \;$ を 用い、本手法の比較対象とする. Bubnov-Galerkin 型の定 式化において標準気泡関数を用いた場合、安定化パラメー 夕は具体的に $au_e = rac{A_e^2}{10
u g}$ で与えられる。また,lpha = 0.25とした安定化有限要素法の結果との比較も行った.



u - (0, 0) 図-5 Cavity 流れ問題

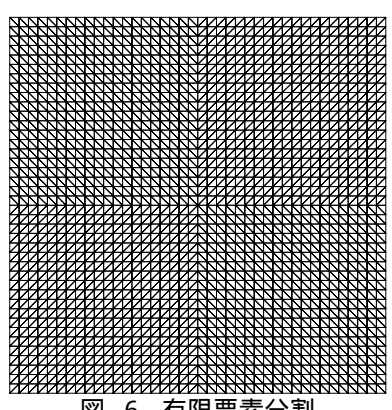
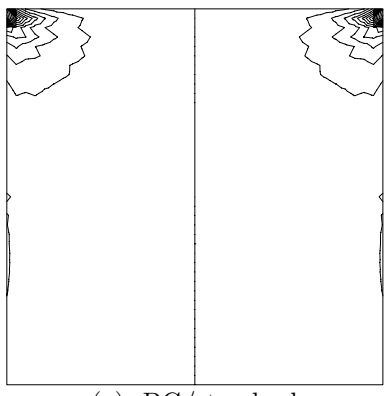
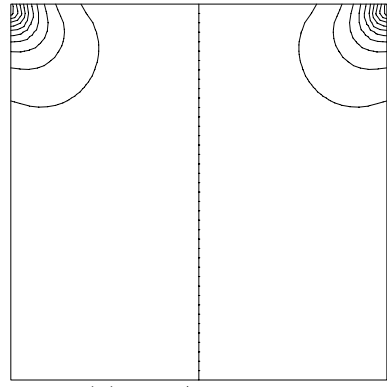


図-6 有限要素分割

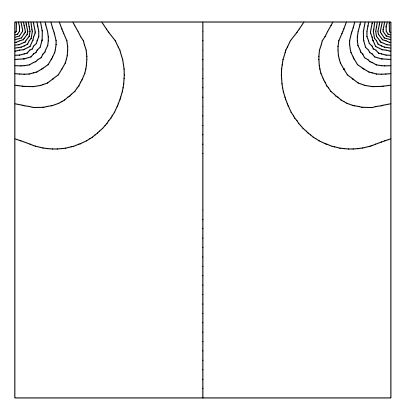
図-7 に圧力コンター図を示す. (a) の標準気泡関数を用いた MINI 要素による Bubnov-Galerkin 型の近似では、角点および辺上の特異点近傍で同次補間を用いた場合に見られる特有の数値的圧力振動が見られる. この数値的不安定性は、任意の気泡関数 $\phi_e \in H^1_0(\Omega_e)$ を用いた MINI 要素による Bubnov-Galerkin 型の近似においも見られる 11 . 一方、本手法である (b) の適合気泡関数 および (c) の非適合気泡関数を用いた気泡関数要素による Petrov-Galerkin 型の近似による結果では、数値的圧力振動は見られず、(d) の安定化有限要素法の結果と一致している. このことは、本手法と安定化有限要素法との等価性および本手法における安定化作用の有効性を示している. また、(c) の結果を得るにあたり、 $\xi=2.313$ の値をとった.



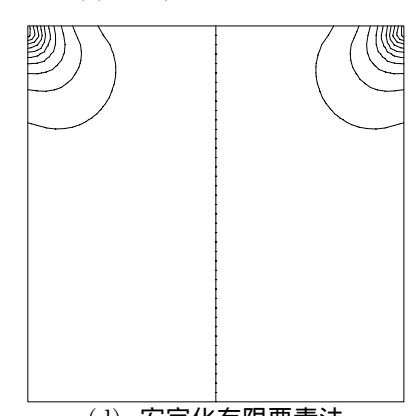
(a) BG/standard



(b) PG/confirming



(c) PG/non-confirming



(d) 安定化有限要素法

図-7 圧力コンター図 $(\nu=1)$

参考文献

- Brooks, A.N. and Hughes, T.J.R.: Streamline upwind/Petrov–Galerkin formulations for convection dominated flows with particular emphasis on the incompressible Navier–Stokes equations, Comput. Methods Appl. Mech. Engrg., Vol.32, pp.199~259, 1982.
- Hughes, T.J.R., Franca, L.P. and Balestra. M.: A new finite element formulation for computational flluid dynamics: V. Circumventing the Babuska-Brezzi condition: A stable Petrov-Galerkin formulation of the Stokes problem accommondationig equalorder interpolations, Comput. Methods Appl. Mech. Engrg., Vol.59, pp.85~99, 1986
- 3. Tezduyar, T.E., Mittal, S., Ray, S.E. and Shih, R.: Incompressible flow computations with stabilized bilinear and linear equal—order—interpolation velocity—pressure elements, *Comput. Methods Appl. Mech. Engrg.*, Vol.95, pp.221~242, 1992.
- Brezzi, F., Bristeau, M.O., Mallet, M. and Roge, G.: A relationship between stabilized finite element methods and the Galerkin method with bubble functions, Comput. Methods Appl. Mech. Engrg., Vol.96, pp.117~129, 1992.
- 5. Pierre, R.: Simple C^0 approximation for the computation of incompressible flows, *Comput. Methods Appl. Mech. Engrg.*, Vol.68, pp205 \sim 227, 1988.
- Franca, L.P. and Farhat, C.: Bubble functions prompt unusual stabilized finite element methods, Comput. Methods Appl. Mech. Engrg., Vol.123, pp.299~308, 1995.
- Baicocchi, C., Brezzi, F. and Franca, L.P.: Virtual bubbles Galerkin-Least-Squares type method (Ga.L.S.), Compt. Methods Appl Mech. Engrg., Vol.105, pp.125~141, 1993.
- Arnold, D.N., Brezzi, F. and Fortin. M.: A stable finite element for the Stokes equation, Calcolo, Vol.23, 337~344, 1984.
- 9. Yamada, T.: A bubble element for inviscid flow, Finite Elements in Fluids, Vol.9, pp.1567~1576, 1995.
- 10. Yamada, T.: A bubble element for the compressible Euler equations, IJCFD, Vol.9, pp.273 \sim 283, 1998.
- Pierre, R.: Optimal selection of the bubble function in the stabilization of the P₁−P₁ element for the Stokes problem, SIAM J. Numer. Anal., Vol.32, pp.1210~1224, 1995.
- Hughes, T.J.R.: Multiscale phenomena: Green's function. the Dirichlet-to-Neumann formulation, subgrid scale models, bubbles and the origin of stabilized methods, Comput. Methods Appl. Mech. Engrg., Vol.127, pp.387~401, 1995.
- Simo, J.C., Armero, F. and Taylor, C.: Galerkin finite element methods with bubble for advection dominated incompressible Navier-Stokes, *Int.* J. Numer. Methods Engrg., Vol.38, pp.1475~1506, 1995.
- Fortin, M. and Fortin, A.: Newer and newer elements for incompressible flow, Finite Elements in Fluids, Vol.6, John Wiley & Sons Ltd., pp.171~187, 1985.
- 15. 奥村 弘, 川原 睦人: 非圧縮体に対する非適合気泡関数を用いた MINI 要素による Petrov-Galerkin 有限要素法, 応用力学論文集, Vol. 3, pp.275~280, 2000.